

Fig. 1

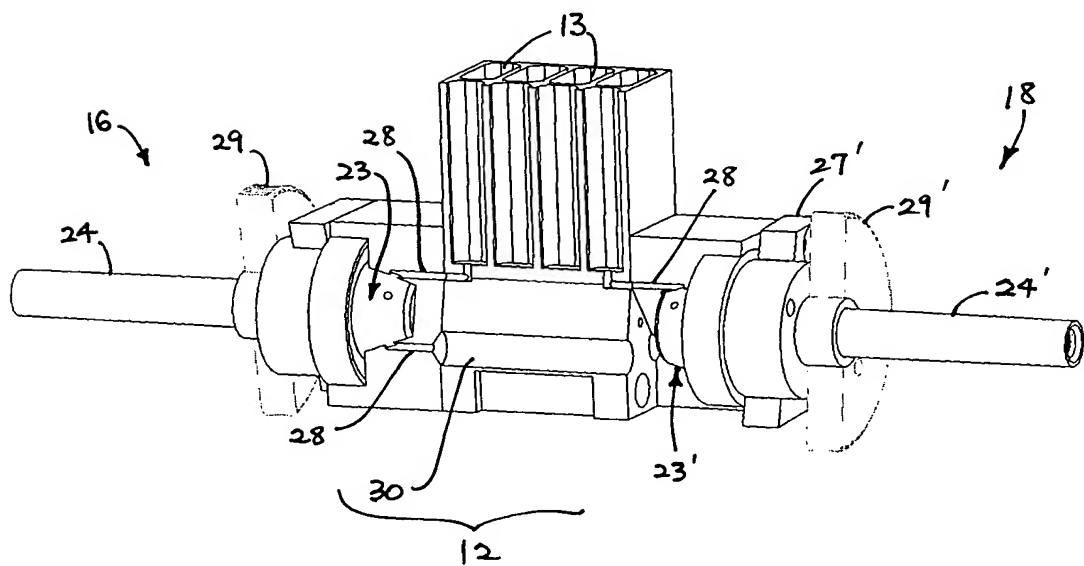


Fig. 2

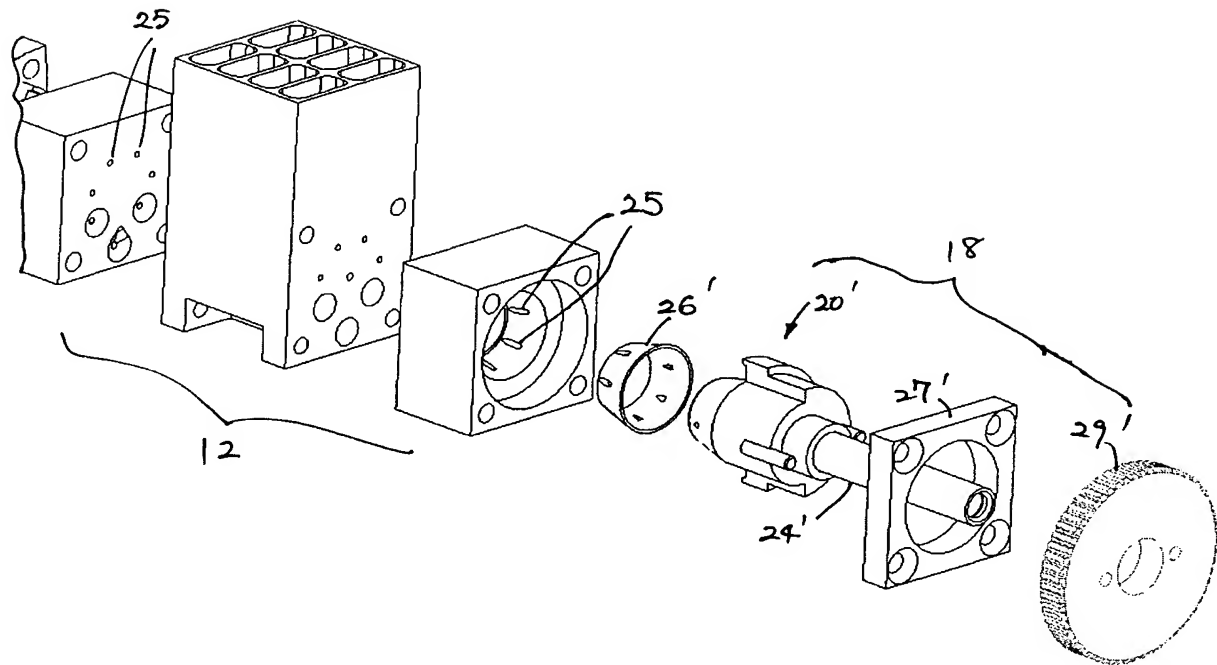


Fig. 3

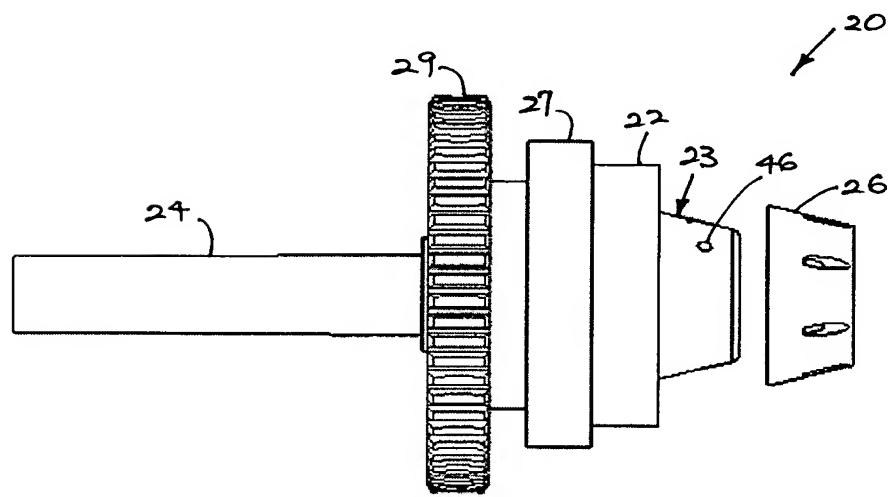


Fig. 4

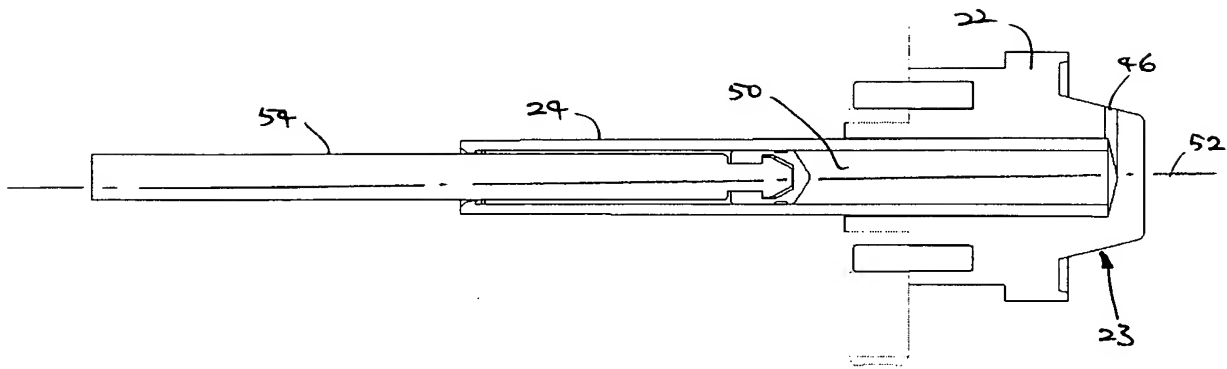


Fig 5

29

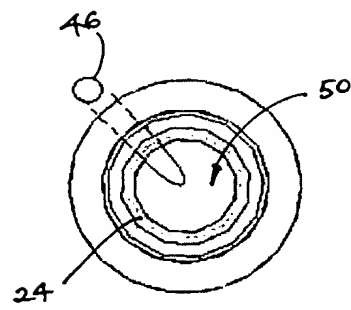


Fig. 6

29

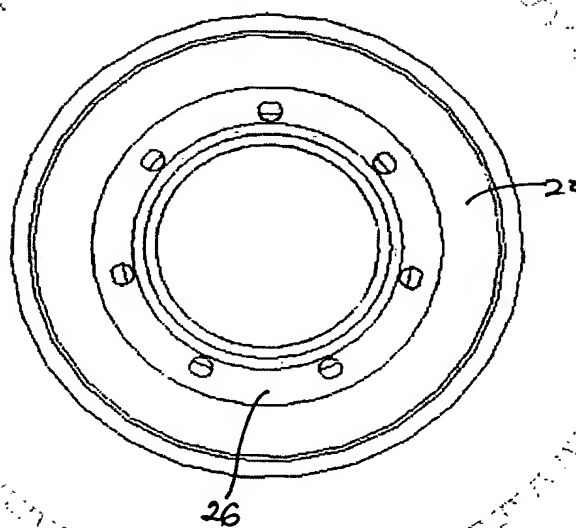


FIG. 7

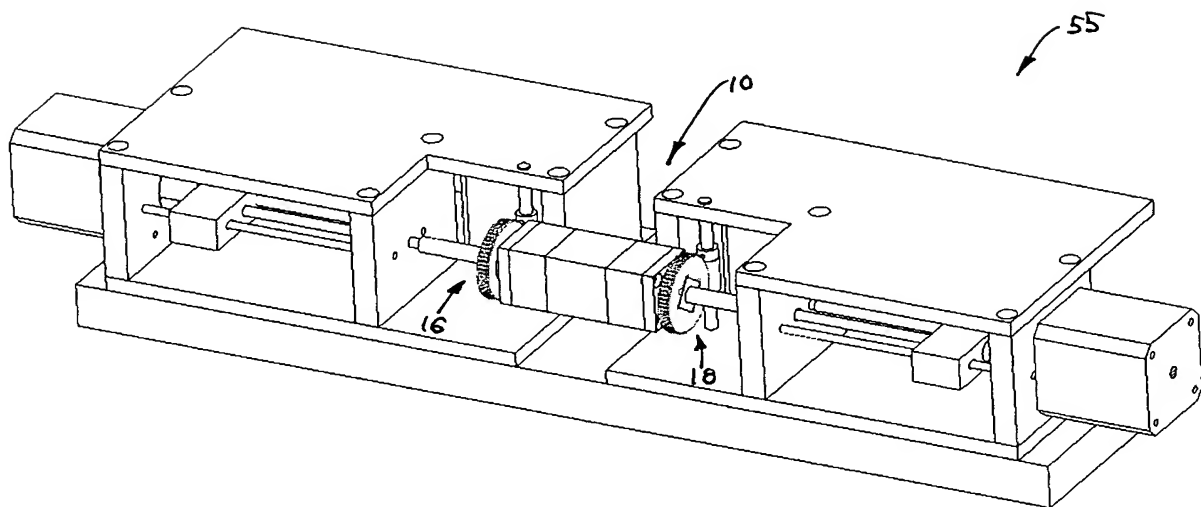


Fig. 8

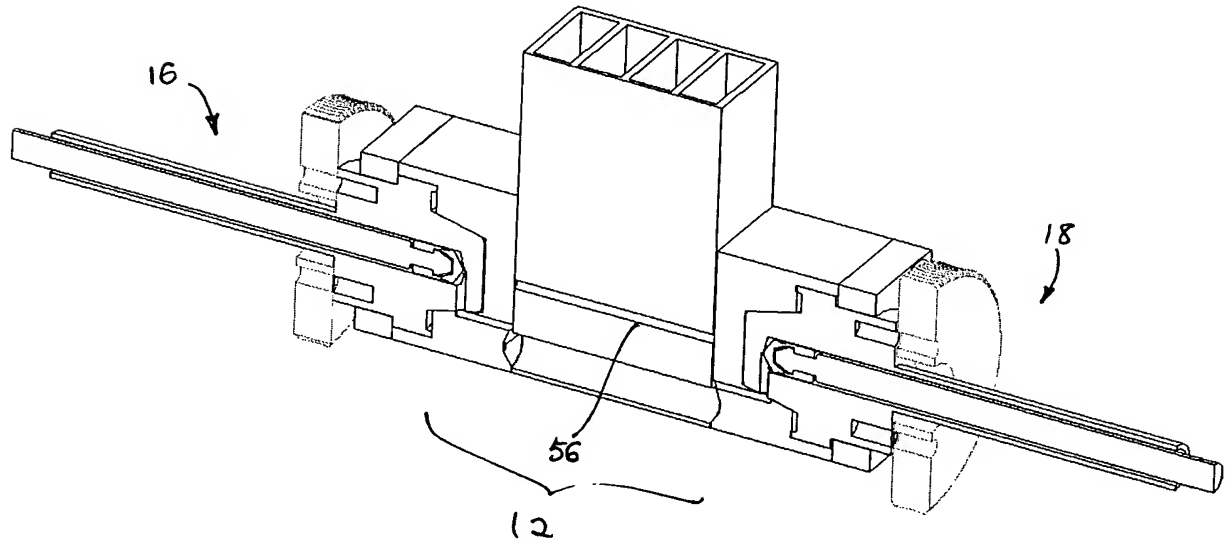


Fig. 9

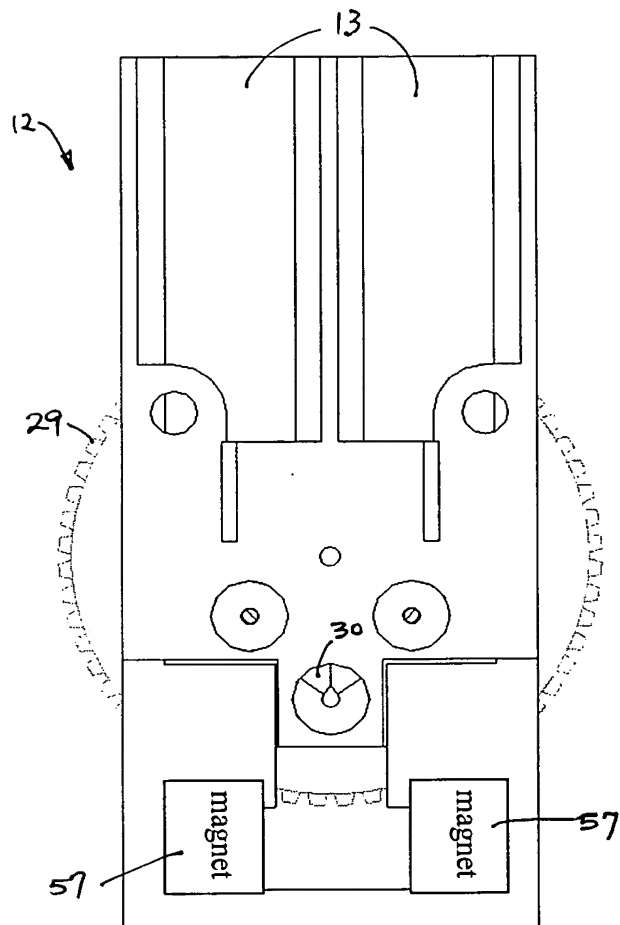


Fig. 10

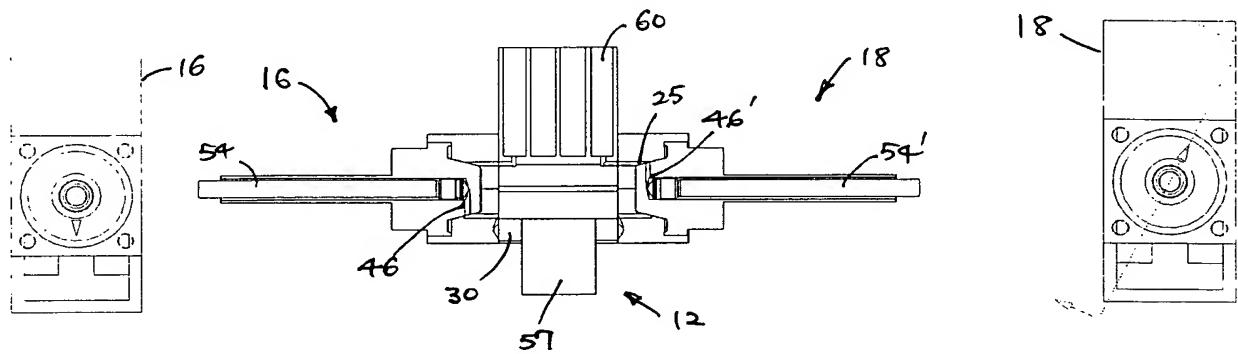


Fig. 11A

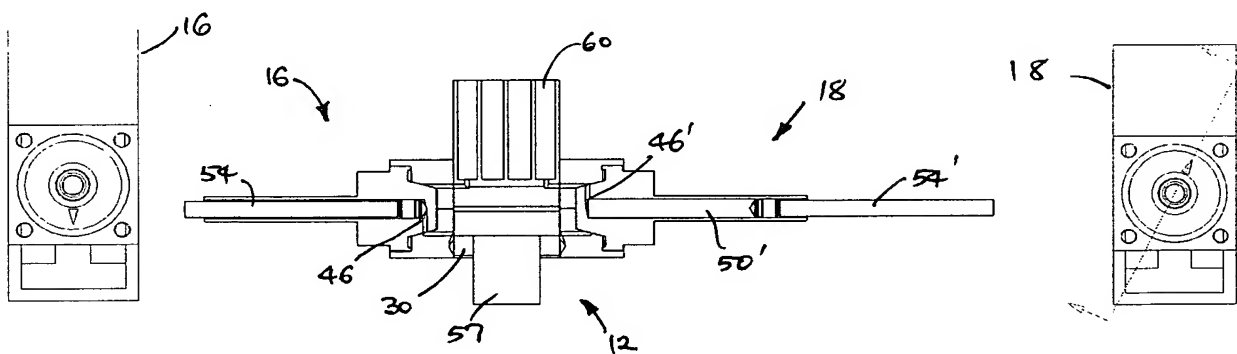


Fig. 11B

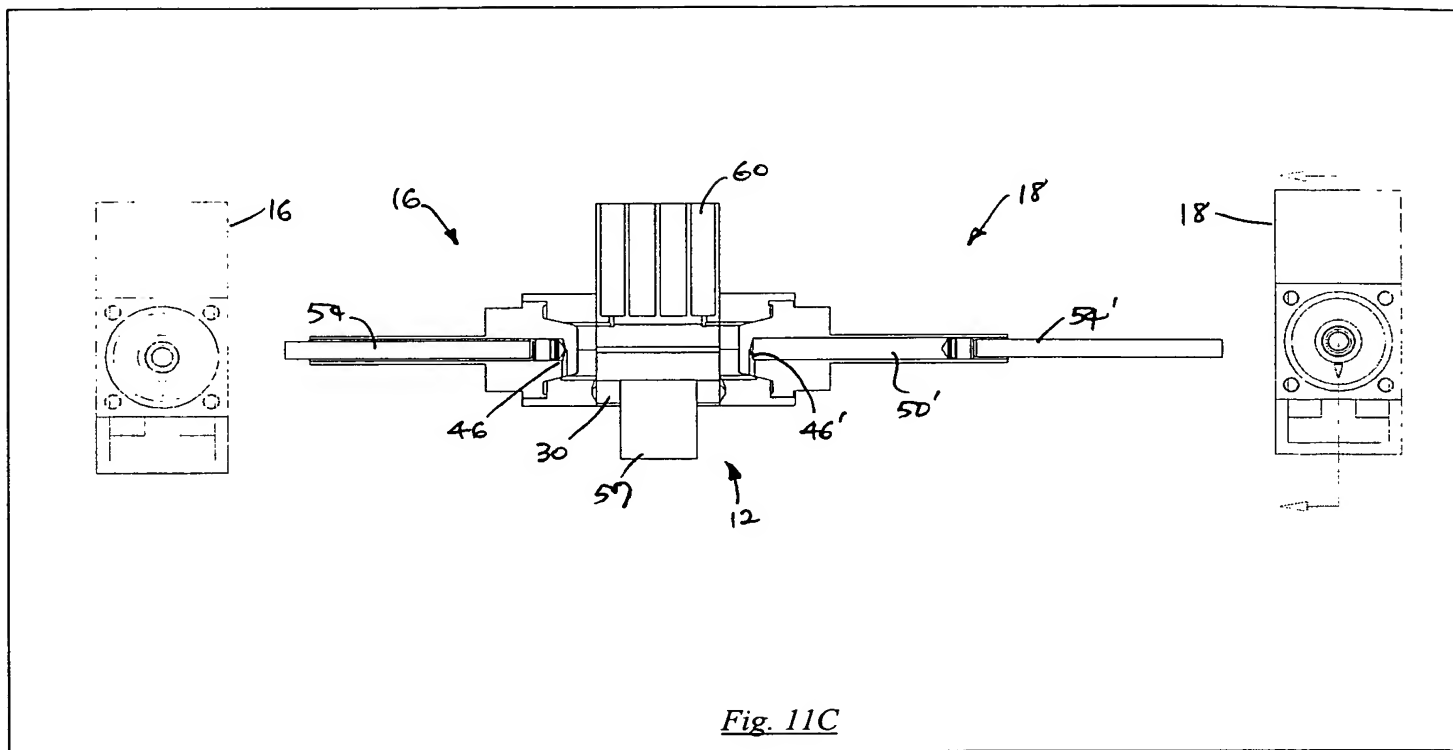


Fig. 11C

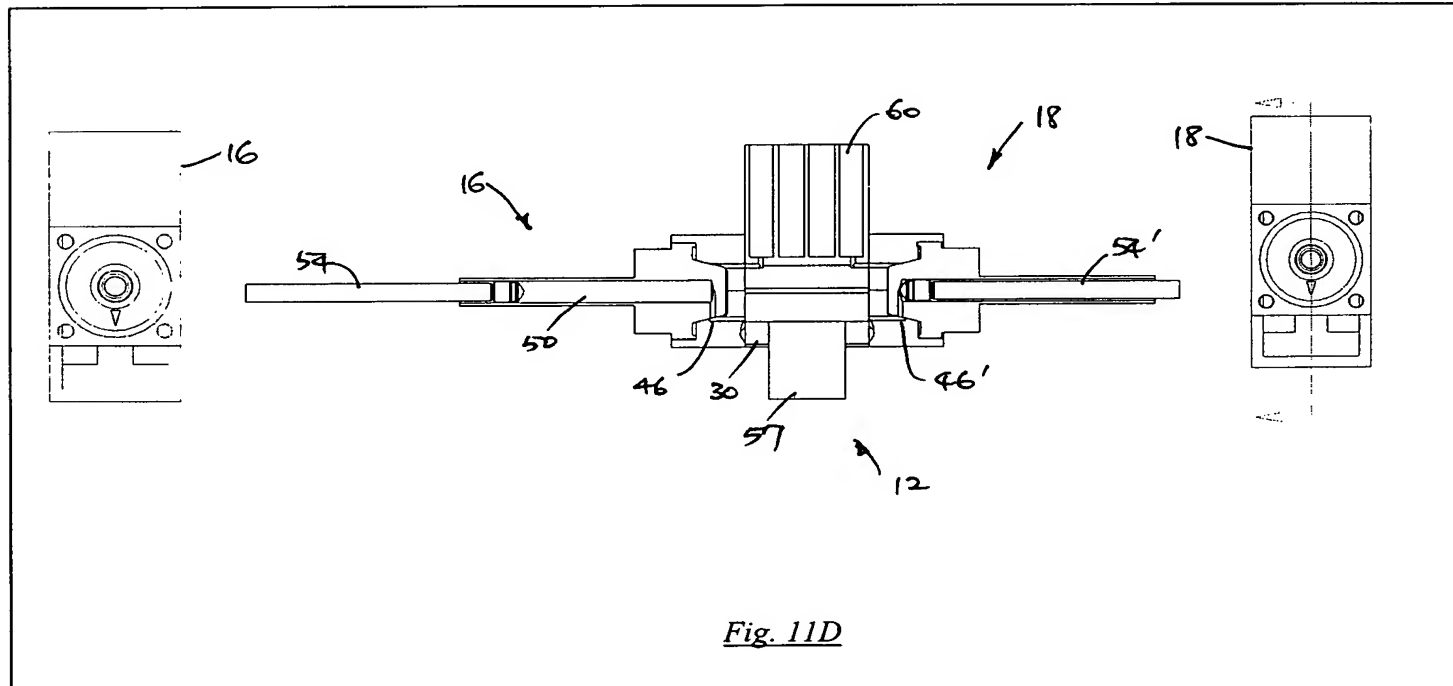


Fig. 11D

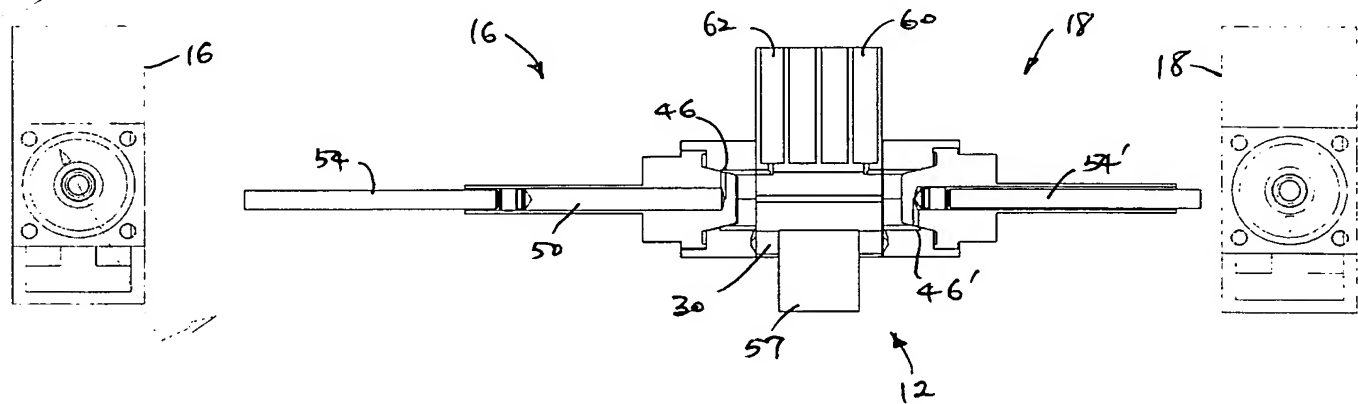


Fig. 11E

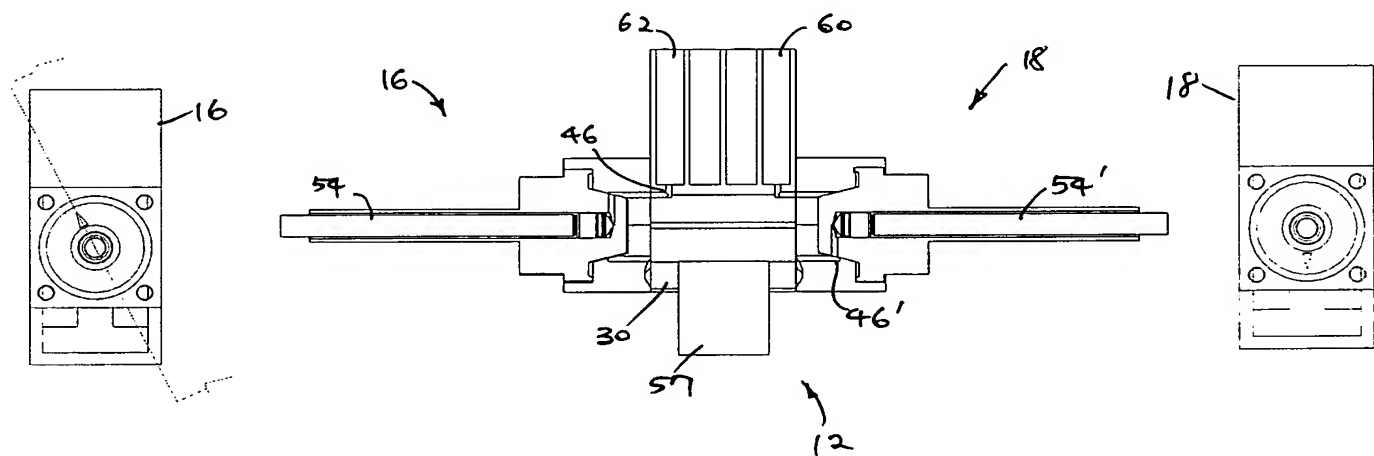


Fig. 11F

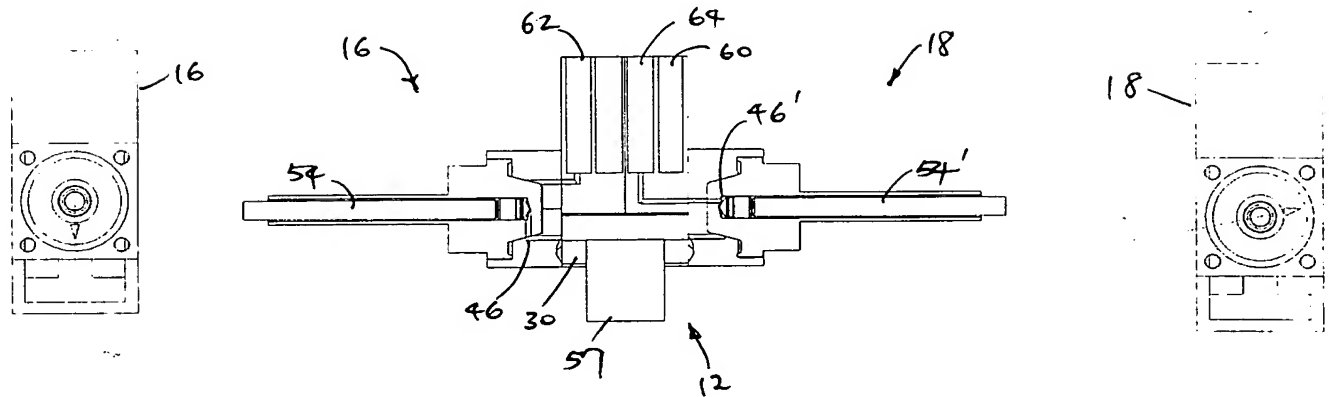


Fig. 11G

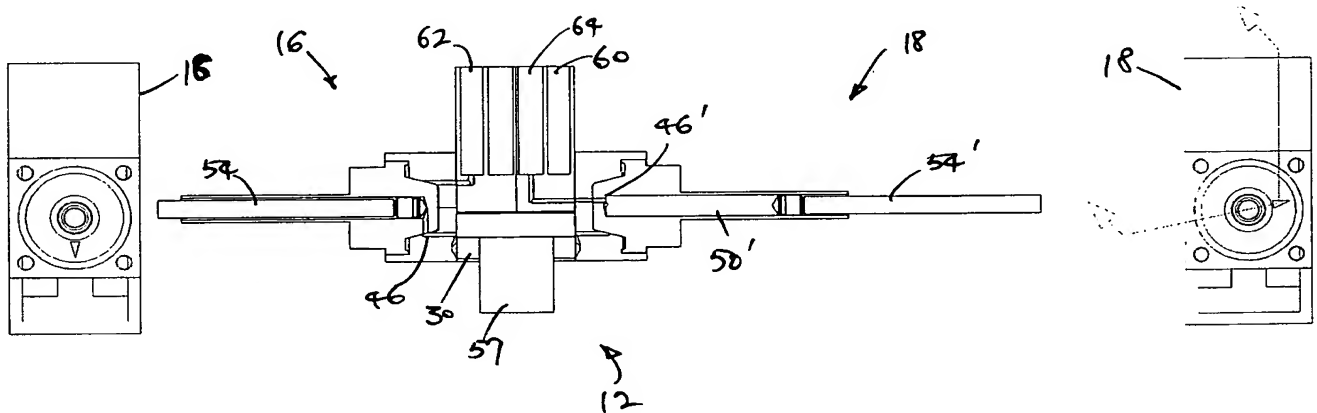


Fig. 11H

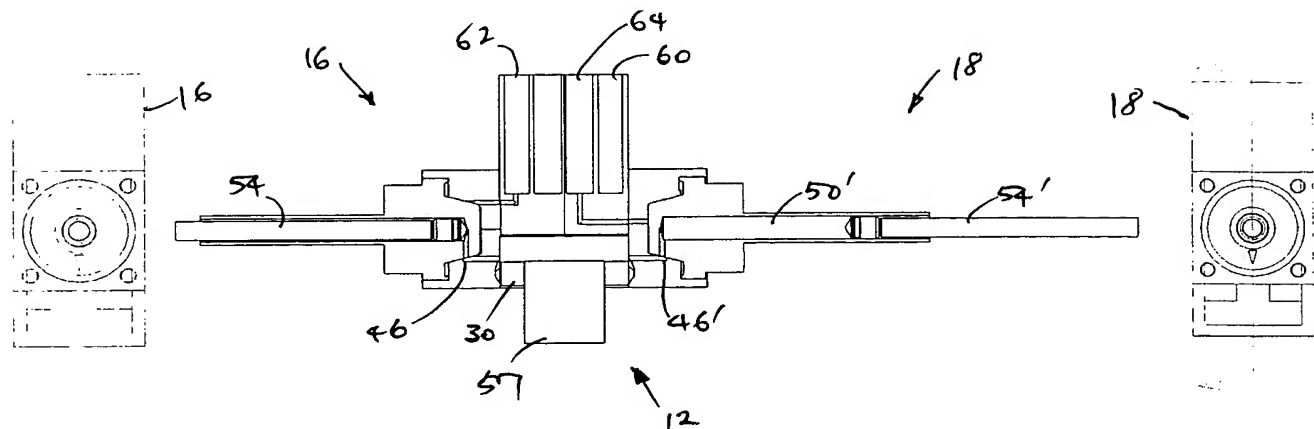


Fig. 11I

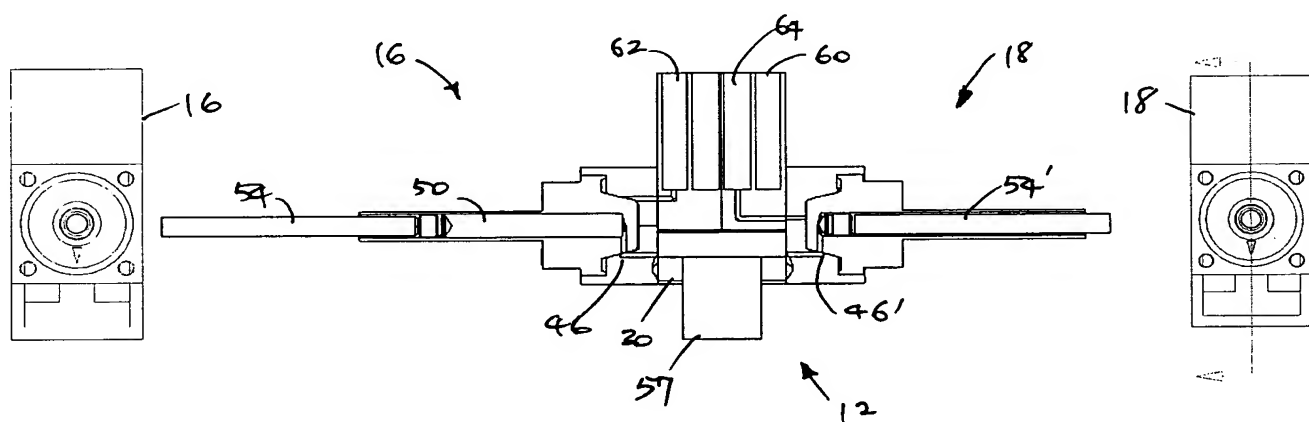


Fig. 11J

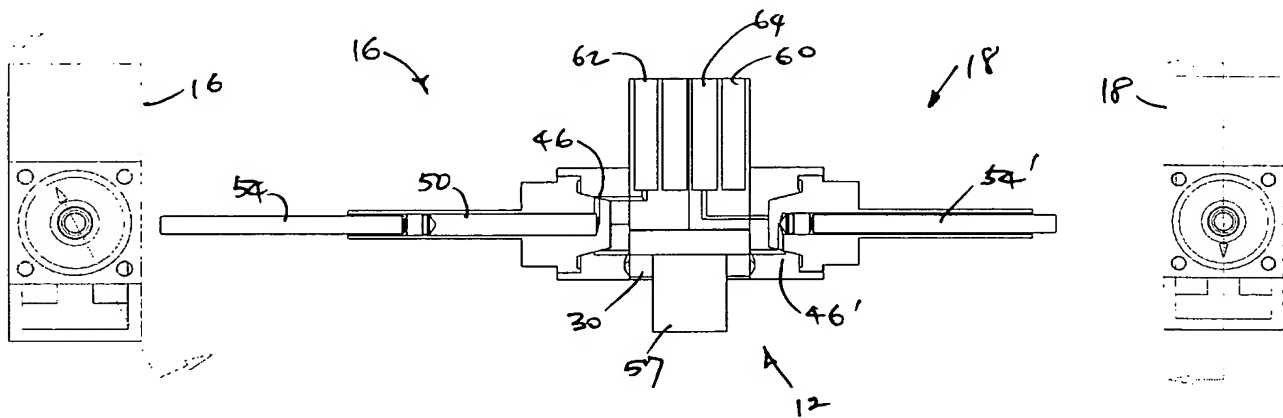


Fig. 11K

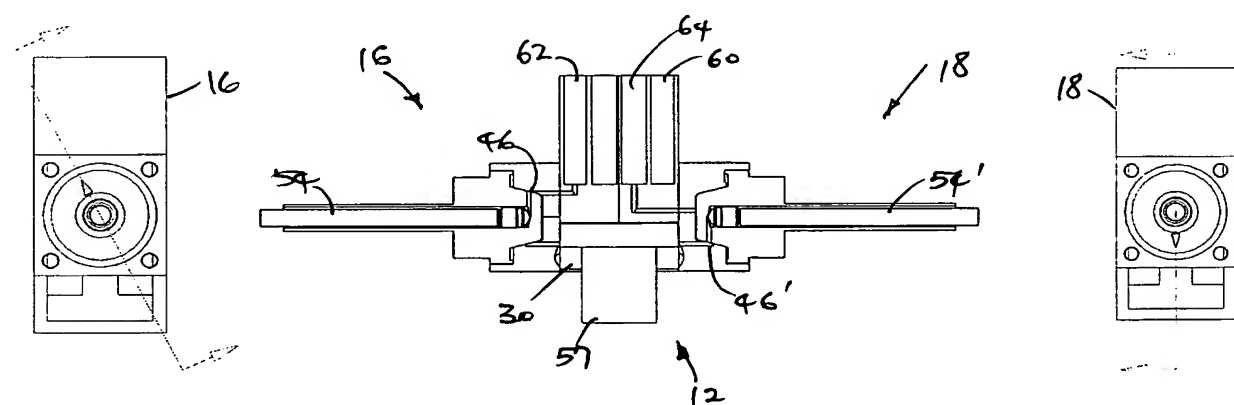


Fig. 11L

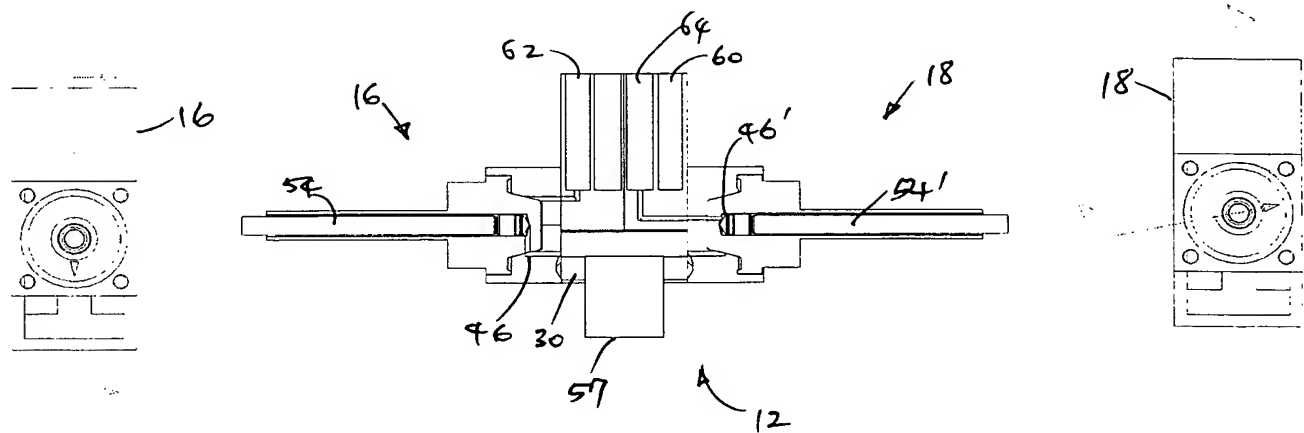


Fig. 11M

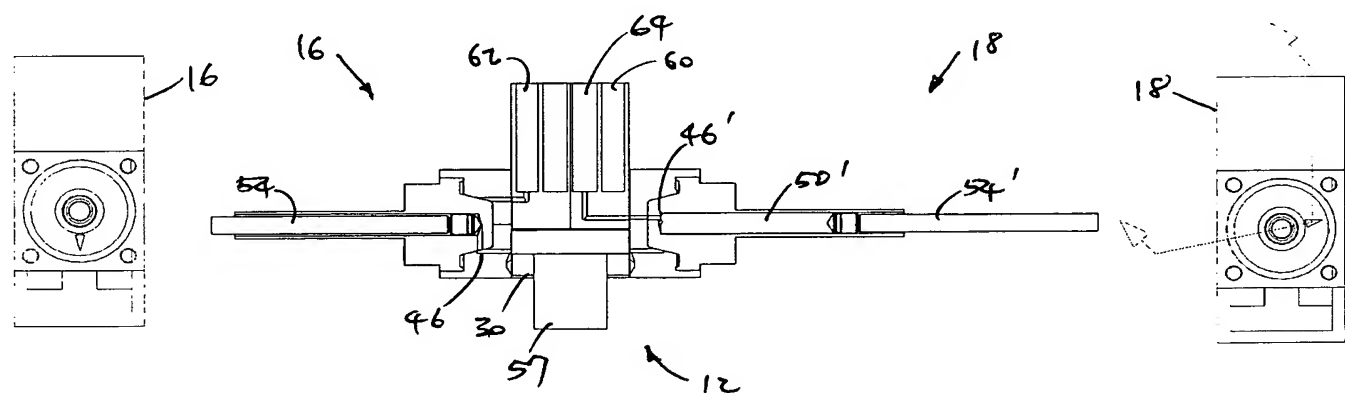


Fig. 11N

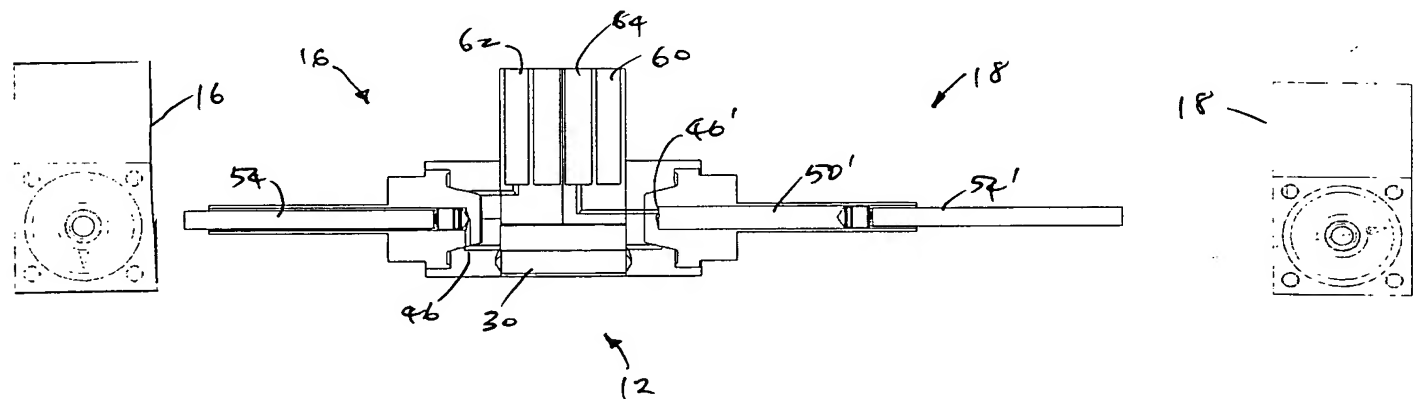


Fig. 11 O

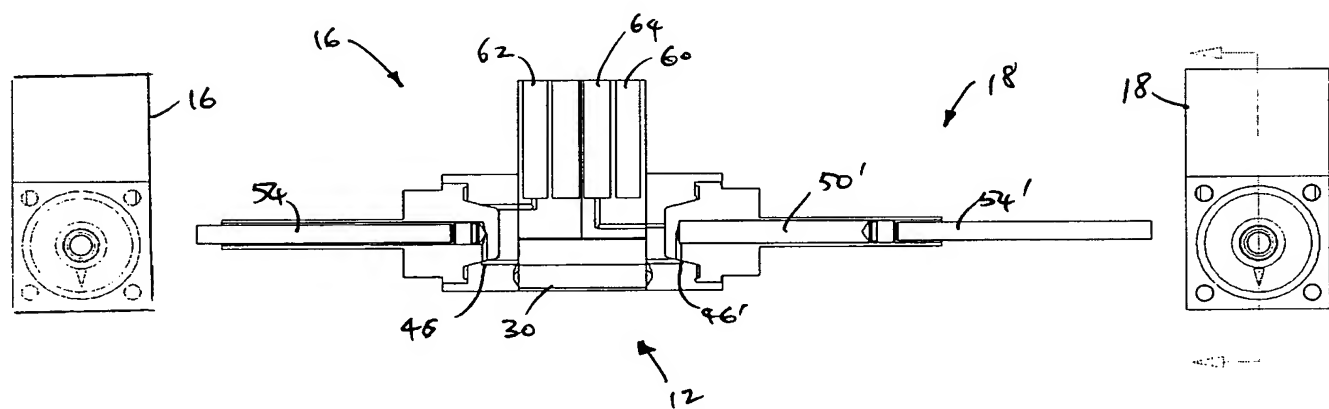


Fig. 11 P

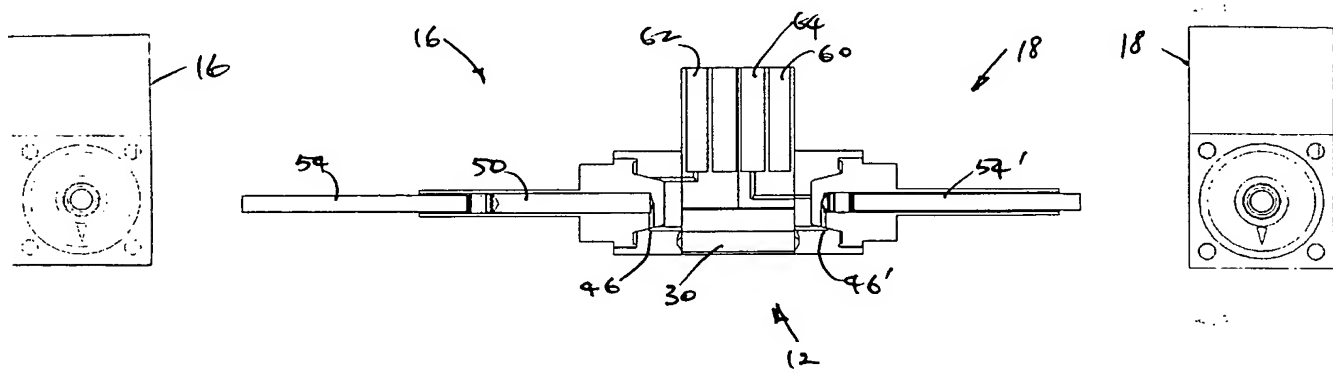


Fig. 11Q

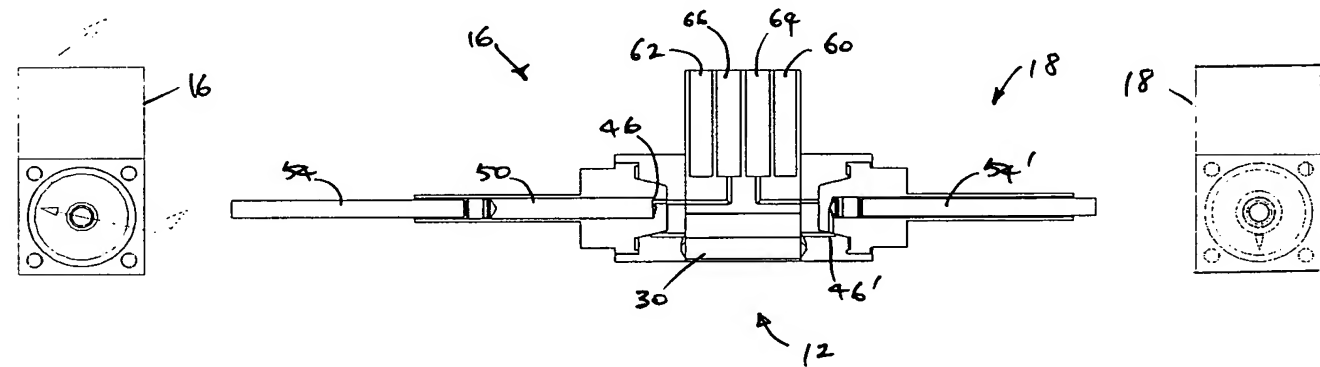


Fig. 11R

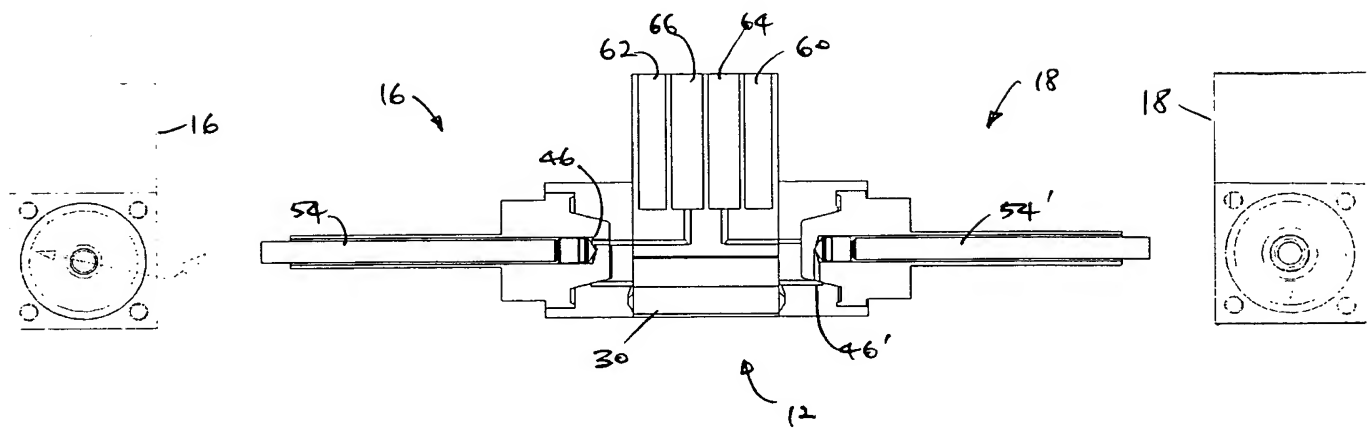


Fig. 11S

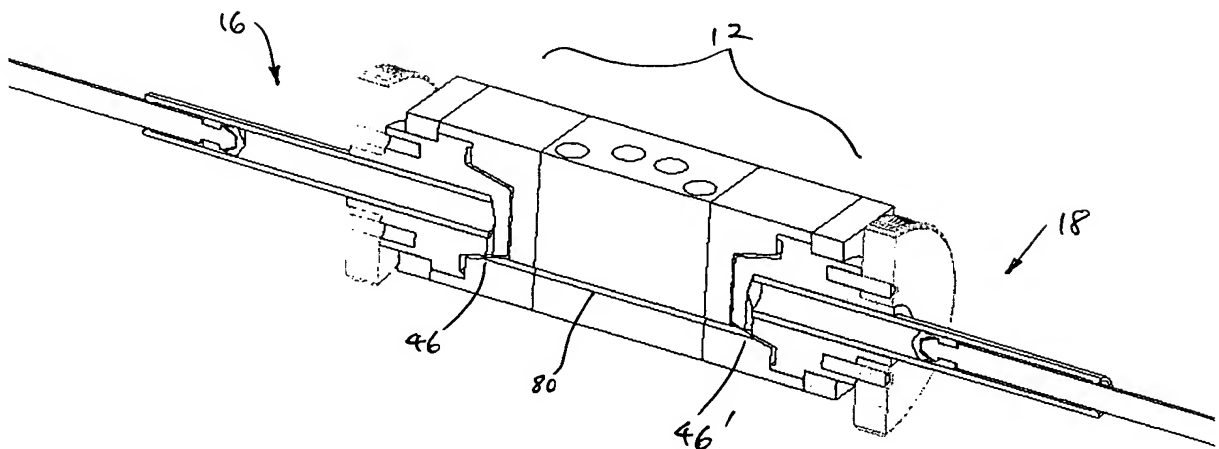


Fig. 12

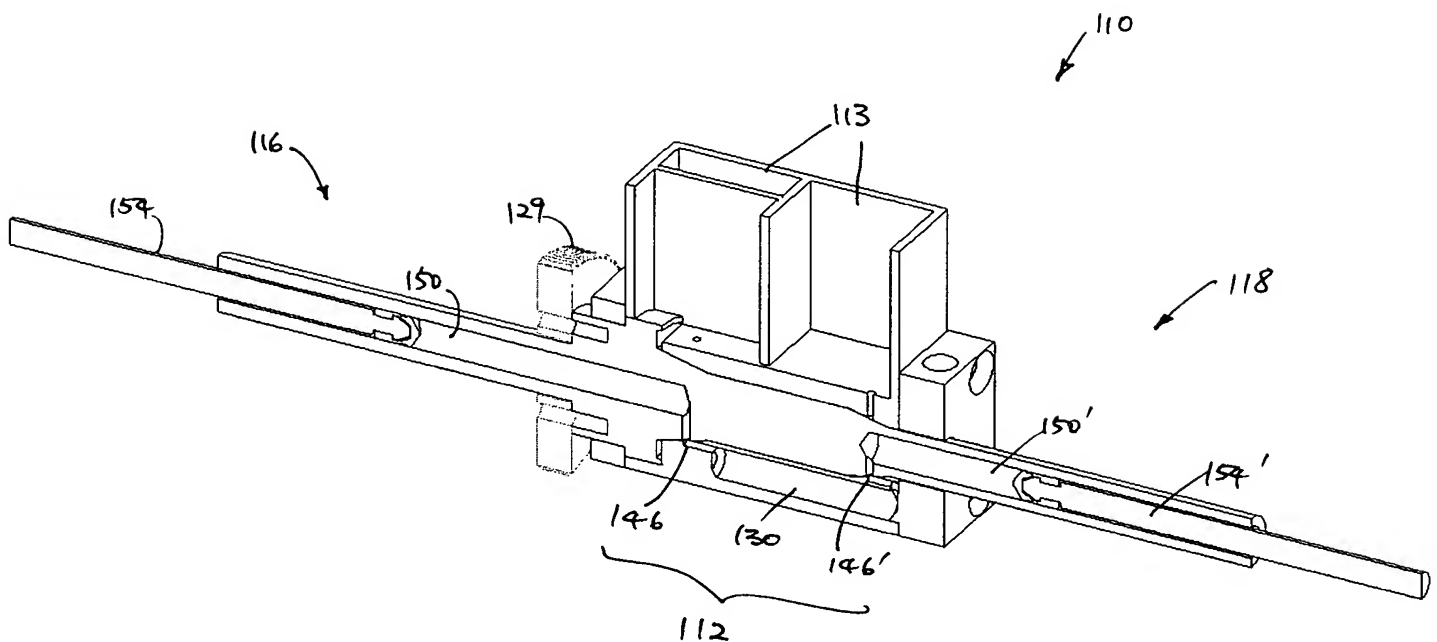


Fig. 13

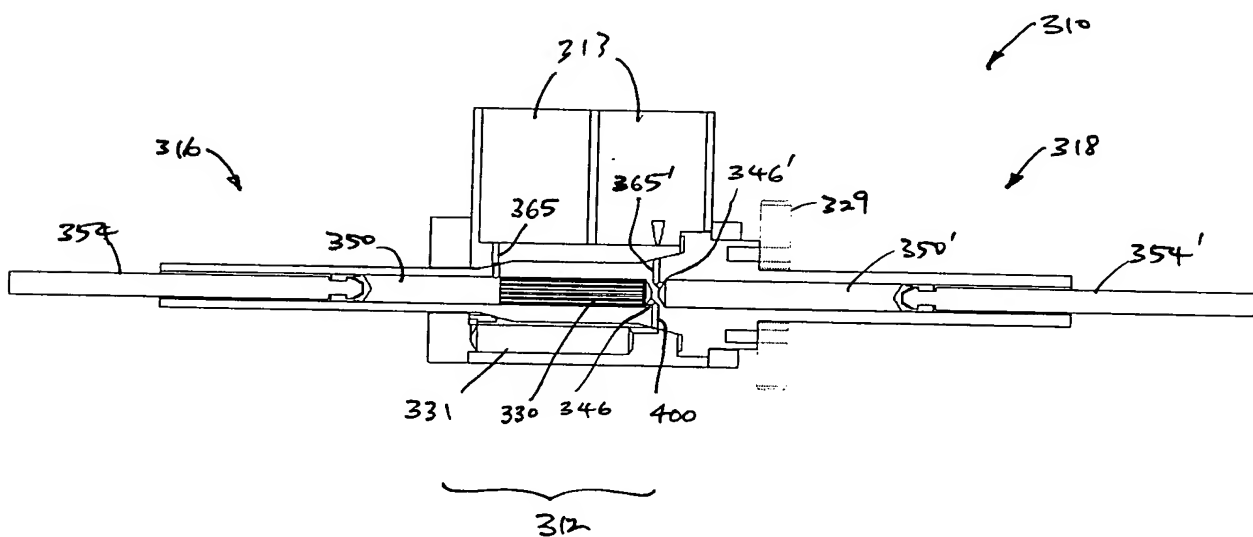


Fig. 14

